



[Dipl.-Ing. \(FH\) Marco Wilke](#) | [Mathias Röper, M. Eng.](#) | [Dr.-Ing. Stefan Bofinger](#) | [Max Krug, St. g. Techniker](#)

SONNWINN

Netzwerk unabhängiger Gutachter für Photovoltaik und Stromspeicher

BLENDGUTACHTEN

PVA DEPONIEBERG BAD LIEBENWERDA

VERSION 1.0

Bearbeitet:

Sachverständiger für Photovoltaik
Mathias Röper, M. Eng.

Achter de Schün 1
D-25436 Moorrege
+49 4122 509100
mathias.roeper@sonnwinn.de
www.sonnwinn.de

Moorrege, 09.07.2024

Revisionstabelle

Version	Änderung	Datum	Name
1.0	Erste Fassung	09.07.2024	Mathias Röper

Das Gutachten ist nur in seiner aktuellen Fassung gültig.

Inhaltsverzeichnis

1	Einleitung.....	3
1.1	Fragestellung.....	3
1.2	Haftungsausschluss	3
1.3	Datengrundlage	3
1.4	Übersicht der angewendeten Methodiken	4
2	Anlagenbeschreibung	5
3	Zusammenfassung der Ergebnisse.....	7
4	Grundlagen	8
4.1	Blendwirkung von Modulen	8
4.2	Berechnung von Reflexionen.....	10
4.3	Verwendete Software, Annahmen und Limitationen	10
5	Blendwirkungen auf Gebäude	11
5.1	Auswertungsmethodik.....	11
5.2	Schutzwürdige Räume in der Umgebung der PVA	12
5.3	Observationspunkte	13
5.4	Ergebnisse.....	15
6	Diskussion der Ergebnisse	22
7	Literaturverzeichnis.....	23
	Anhang A: Annahmen und Limitationen von SGHAT	24

1 Einleitung

Herr Mathias Röper, Sachverständiger für Photovoltaik, wurde beauftragt, die möglichen Blendwirkungen folgender Photovoltaikanlage (PVA) zu untersuchen und zu bewerten:

Tabelle 1: Projektübersicht

Auftraggeber	reconcept GmbH
Projektname	PVA Bad Liebenwerda
Adresse	Zu den Elsterwiesen, 04924 Bad Liebenwerda
Stand der Projektierung	<input type="checkbox"/> Bestand <input type="checkbox"/> Im Bau <input checked="" type="checkbox"/> Planung

1.1 Fragestellung

Es stellt sich die Frage, ob die Solarmodule der geplanten Photovoltaikanlage Sonnenlicht so reflektieren, dass erhebliche Belästigungen bzw. Beeinträchtigungen für folgende Immissionsorte auftreten können:

- Schutzwürdige Räume (z. B. Wohnräume)

Dieses Gutachten dient der Beantwortung dieser Frage und stellt dar, ob und mit welcher Häufigkeit belästigende bzw. beeinträchtigende Blendwirkungen auftreten können. Zudem werden die Ergebnisse bewertet.

1.2 Haftungsausschluss

Dieser Bericht wurde ausschließlich für den Gebrauch des Auftraggebers und in dessen Auftrag erstellt. Die Berechnungen und Auswertungen erfolgten nach bestem Wissen und Gewissen. Trotz sorgfältiger Durchführung können Fehler oder Irrtümer nicht vollständig ausgeschlossen werden. Für Folgeschäden, die aus der Nutzung des Gutachtens resultieren, wird keine Haftung übernommen. Die Haftung für Schadensersatz bei grober Fahrlässigkeit oder Vorsatz bleibt unberührt. Bei Weitergabe des Gutachtens an Dritte darf dieses weder verändert noch bearbeitet werden. Eine Haftung gegenüber Dritten, die sich den Inhalt dieses Gutachtens zunutze machen, ist grundsätzlich ausgeschlossen.

1.3 Datengrundlage

Tabelle 2: Verwendete Daten/Informationen und ihre Quellen

Information/Daten	Quelle
Angaben zur geplanten PVA	Auftraggeber
Umliegende Vegetation	Google Earth Pro, OpenStreetMap
Umliegende Bebauung	
Höhendaten (DGM1)	Landesvermessung und Geobasisinformation Brandenburg (LGB)

1.4 Übersicht der angewendeten Methodiken

Die Auswertung der Blendwirkungen auf die Immissionsorte wurde entsprechend folgender Tabelle durchgeführt.

Tabelle 3: Methodiken

Immissionsort	Methodik
Schutzbedürftige Räume (Wohnräume, Büros etc.)	Gemäß dem Leitfaden der Bund/Länder-Arbeitsgemeinschaft für Immissionsschutz (LAI-Leitfaden) [1]

2 Anlagenbeschreibung

Die geplante PVA besteht aus zwei PV-Flächen.

Tabelle 4: Relevante Anlagenparameter

Parameter	Angabe/Wert
Geokoordinaten (Breite, Länge)	51.5309532,13.3903842
Art der Anlage	Freiflächenanlage
Modultyp	Si-kristallines Modul mit Antireflexbeschichtung
Aufständigung	Fest aufgeständert
PV-Fläche	ca. 1,6 ha
Nennleistung (DC)	-
Modulausrichtung (Azimut)	ca. 180° (Norden = 0°)
Modulneigung	15°
Höhe Modulunterkante	0,8 m
Höhe Moduloberkante	2,69 m



Abbildung 1: Grundriss der PV-Flächen - Quelle Satellitenbild: Google Earth Pro

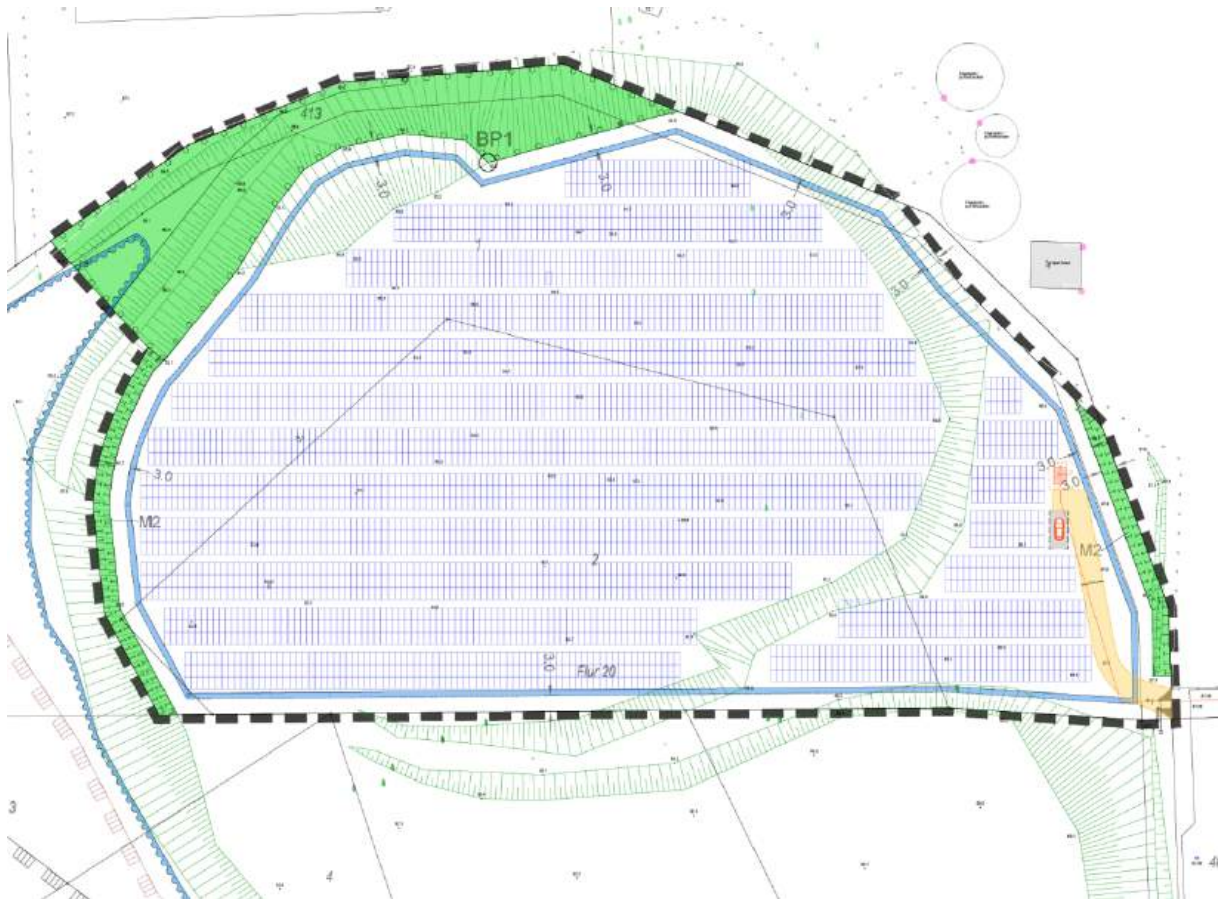


Abbildung 2: Belegungsplan - Quelle: Auftraggeber

3 Zusammenfassung der Ergebnisse

Im relevanten Umfeld (100 m Radius) der Photovoltaikanlage ist ein neues Bürogebäude geplant. An diesem Gebäude können erhebliche Belästigungen im Sinne des LAI-Leitfadens nicht ausgeschlossen werden. Zwischen dem Gebäude und der Photovoltaikanlage befinden sich jedoch teilweise hochgewachsene Bäume, die als Sichtschutz dienen. Es wird empfohlen, die Blendwirkungen auf das geplante Bürogebäude zusätzlich zu minimieren, beispielsweise durch einen Sichtschutz entlang der südöstlichen Anlagenecke. Wird hier ein effektiver Sichtschutz realisiert, sind relevante Belästigungen im Sinne des LAI-Leitfadens auszuschließen. Zudem muss beachtet werden, dass die Reflexionen auf das Bürogebäude insgesamt frühestens ab ca. 18:00 Uhr zu erwarten sind. Demnach liegen die Blendzeiträume tendenziell außerhalb gängiger Arbeitszeiten.

4 Grundlagen

4.1 Blendwirkung von Modulen

Ein PV-Modul setzt sich aus zahlreichen Solarzellen zusammen, die Sonnenlicht in elektrische Energie umwandeln. Um Stabilität zu gewährleisten und vor Witterungseinflüssen zu schützen, sind die Solarzellen normalerweise hinter einer Glasscheibe (Modulglas) angebracht. Das Modulglas ist maßgeblich für mögliche Blendwirkungen verantwortlich. Da die erzeugte elektrische Energie in direktem Verhältnis zur Intensität der Sonneneinstrahlung auf die Solarzellen steht, bemühen sich Modulhersteller, Reflexionen am Modulglas zu reduzieren – je weniger Reflexionen, desto höher der Ertrag. Daher verfügt das Modulglas typischerweise über eine spezielle Oberflächentexturierung und eine sogenannte Antireflexschicht. Beide Elemente gewährleisten, dass möglichst viel Licht auf die Solarzellen trifft und Reflexionsverluste minimiert werden [2].

Daher reflektieren Solarmodule bei geringen Einfallswinkeln θ (siehe Abbildung 3) lediglich einen kleinen Teil des Sonnenlichts (etwa 5 %). Studien zeigen jedoch, dass trotz Texturierung und Antireflexbeschichtung der Anteil des reflektierten Sonnenlichts mit ansteigendem Einfallswinkel exponentiell zunimmt (siehe Abbildung 4).

Da bereits Reflexionen von weniger als 1 % des Sonnenlichts zu einer Absolutblendung führen können [1], müssen demnach Einfallswinkel berücksichtigt werden.

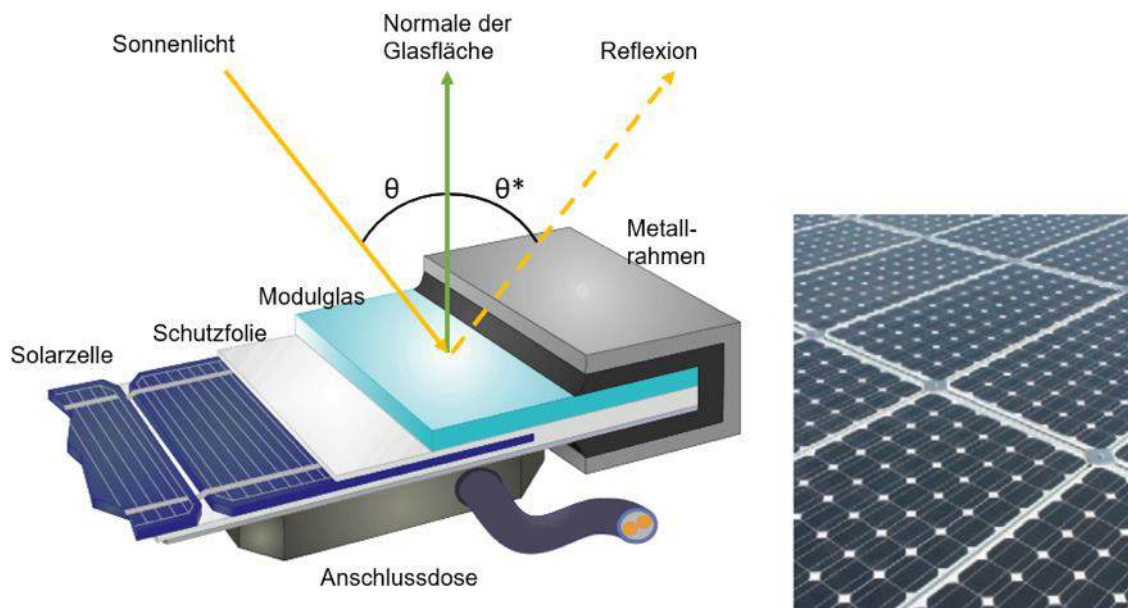


Abbildung 3: Aufbau eines PV-Moduls und Darstellung des Reflexionsgesetzes „Einfallswinkel = Ausfallswinkel“
- Quelle: [3] (modifiziert)

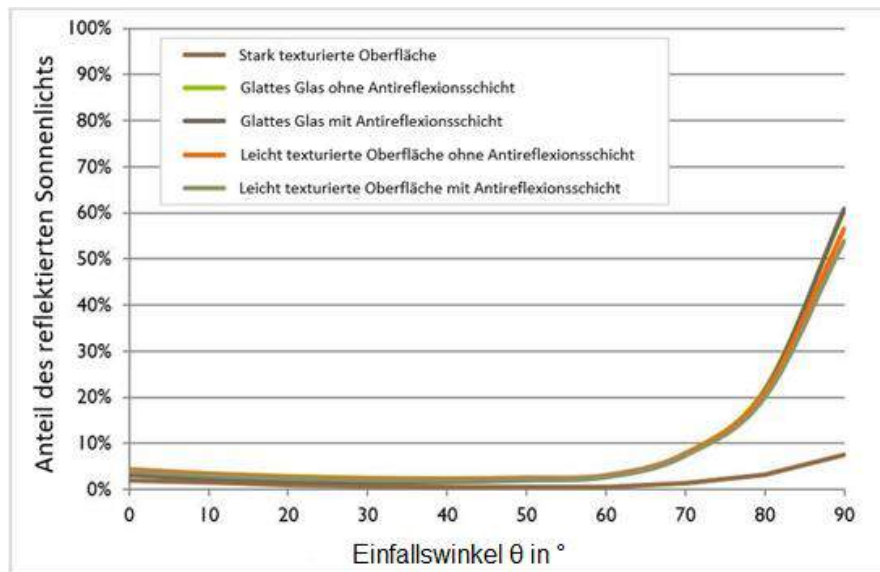


Abbildung 4: Anteil des reflektierten Sonnenlichts in Abhängigkeit zum Einfallswinkel, dargestellt für unterschiedliche Modulglastypen - Quelle: [4], modifiziert

Die Oberflächentexturierung des Modulglases bewirkt eine weniger intensive, aber diffuse (gestreute) Reflexion des Sonnenlichts, wodurch der Immissionsort der Reflexion vergrößert wird. Daher sind die Intensitäten von Reflexionen an Solarmodulen nicht mit denen an beispielsweise glatten Fensterscheiben vergleichbar, bei denen das Sonnenlicht gerichteter reflektiert wird. Neue PV-Module verfügen in der Regel über eine Antireflexbeschichtung und zumindest eine leicht texturierte Oberfläche. Dies gilt auch für den später verwendeten Modultyp.



Abbildung 5: Veranschaulichung der Reflexion an einem texturierten Modulglas (mitte-links) und einem glatten Modulglas (mitte-rechts) - Quelle Aufnahme: Fraunhofer-Institut für Solare Energiesysteme ISE

4.2 Berechnung von Reflexionen

Reflexionen an PV-Modulen können geometrisch hergeleitet werden. Hierzu werden die Module, die relevanten Immissionsorte und die Sonne in einem gemeinsamen Koordinatensystem modelliert [1]. Der standortbezogene Sonnenverlauf kann für jeden Zeitpunkt im Jahr auf Basis mathematischer Funktionen ermittelt werden [5]. Durch Winkelbeziehungen und Strahlungsgesetze lässt sich nachvollziehen, wo und wann Blendwirkungen auftreten. Die Berücksichtigung von modulglasspezifischen Streuwinkeln und Reflexionskoeffizienten ermöglicht eine noch präzisere Betrachtung [4].

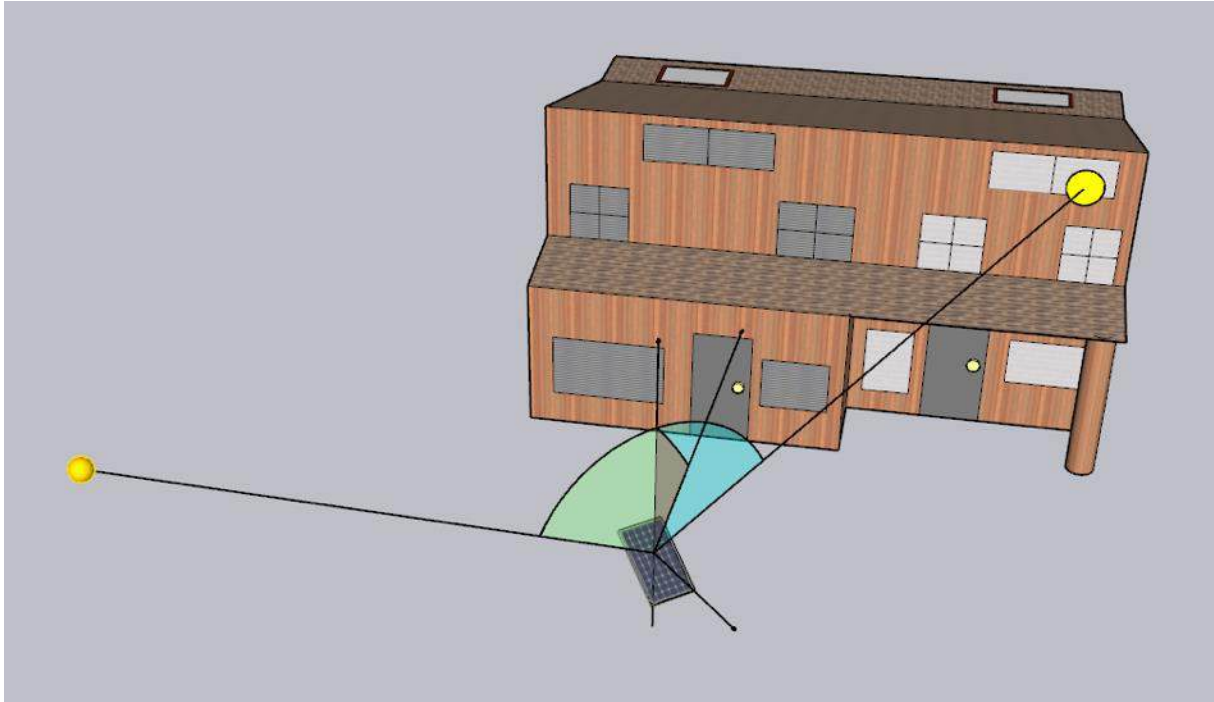


Abbildung 6: Veranschaulichung der geometrischen Herleitung einer Reflexion - Quelle: Eigene Abbildung

4.3 Verwendete Software, Annahmen und Limitationen

Für die Berechnungen der Reflexionen/Blendwirkungen wurde die Software ForgeSolar verwendet. Dabei wurden die Reflexionen/Blendwirkungen der PVA mit einer zeitlichen Auflösung von einer Minute für ein ganzes Jahr berechnet. Die Software basiert auf dem „Solar Glare Hazard Analysis Tool“ (SGHAT) der Sandia National Laboratories. Im Rahmen der Simulation werden die Höhendaten der PV-Fläche sowie der Immissionsorte berücksichtigt. Die Simulation basiert auf der Annahme eines immer klaren Himmels. Demnach wird ein abstrakter Worst-Case betrachtet.

Obwohl ForgeSolar zu den etabliertesten und professionellsten Programmen gehört, um PVA-bedingte Blendwirkungen zu berechnen, kann die Realität nur vereinfacht dargestellt werden. Somit werden die Generatorfelder als Ebenen zusammengefasst, abweichende Modulausrichtungen im Feld (z. B. Modultische, die aufgrund der Topografie eine Neigung entlang der Tischachse besitzen und somit die effektive Ausrichtung der Module beeinflussen) teilweise verloren gehen. Die Limitationen der Software werden nach Möglichkeit durch zusätzliche Berechnungen kompensiert und die Ergebnisse stets validiert. Dennoch können Abweichungen von der späteren Realität nicht ausgeschlossen werden.

Eine weiterführende Auflistung der Annahmen und Einschränkungen bzgl. der Simulation befindet sich in Anhang A.

5 Blendwirkungen auf Gebäude

5.1 Auswertungsmethodik

Die Auswertung der Blendwirkungen auf umliegende Gebäude (inkl. Terrassen und Balkone) basiert auf dem Leitfaden der Bund/Länder-Arbeitsgemeinschaft für Immissionsschutz (LAI) [1].

Der LAI-Leitfaden benennt als maßgebliche Immissionsorte schutzbedürftige Räume, sofern sie zu einer der folgenden Kategorien gehören:

- Wohnräume
- Schlafräume (einschließlich Übernachtungsräume in Beherbergungsstätten und Bettenräume in Krankenhäusern und Sanatorien)
- Unterrichtsräume in Schulen, Hochschulen und ähnlichen Einrichtungen
- Büroräume, Praxisräume, Arbeitsräume, Schulungsräume und ähnliche Arbeitsräume
- An relevanten Gebäuden anschließende Außenflächen (z. B. Terrassen und Balkone)

Räume, die keiner dieser Kategorien zuzuordnen sind, wurden im Rahmen des Gutachtens nicht auf Blendwirkungen untersucht.

Gemäß dem LAI-Leitfaden gelten (ca.) 100 Meter als räumlicher Grenzwert: Liegt ein Immissionsort weiter als 100 Meter von der PVA entfernt, können erhebliche Belästigungen in der Regel ausgeschlossen werden.

Laut dem LAI-Leitfaden soll zur Ermittlung der Blendzeiten ein vereinfachtes (idealisiertes) Modell verwendet werden, bei dem die Solarmodule als ideal verspiegelte Flächen dargestellt werden. Da eine Spiegelfläche das Sonnenlicht gerichtet reflektiert, findet keine oder nur eine sehr geringe Streuung des Sonnenlichts statt. Je geringer die Streuung, desto kürzer sind die Blendzeiten. In der Simulation wurde jedoch ein realistisches Modell verwendet, das die oberflächenspezifischen Eigenschaften realer Solarmodule berücksichtigt. Um dennoch eine Bewertung nach dem LAI-Leitfaden zu ermöglichen, werden im vorliegenden Gutachten die Blendwirkungen, die lediglich mit dem vereinfachten Modell ermittelt würden, als „Kernblendung“ und die übrigen als „gestreute Reflexion“ bezeichnet und stets differenzierbar dargestellt (sofern relevante Blendwirkungen auftreten).

Zudem sind laut dem Leitfaden Reflexionen, die am Immissionsort mit einem Differenzwinkel $\leq 10^\circ$ zur direkten Sonneneinstrahlung auftreten, nicht als relevante Blendungen zu betrachten. Dies berücksichtigt den Umstand, dass bei tiefstehender Sonne PVA-bedingte Blendwirkungen von der direkten Sonneneinstrahlung überlagert werden.

Laut dem LAI-Leitfadens liegt eine erhebliche Belästigung durch PVA-bedingte Blendwirkungen vor, wenn ein schutzwürdiger Raum mehr als 30 Minuten pro Tag und/oder 30 Stunden (1.800 Minuten) pro Jahr *Kernblendungen* erfährt.

Es hat sich bewährt, in der Simulation nicht jedes einzelne Gebäude in der Umgebung der PVA auszuwerten, sondern lediglich die nächstgelegenen in verschiedenen Himmelsrichtungen. Im Rahmen der Simulation wird darauf geachtet, die potenziell am stärksten betroffenen schutzbedürftigen Räume zu analysieren (Worst-Case-Betrachtung).

In der Simulation werden keine Hindernisse wie Vegetationsstreifen oder Gebäude berücksichtigt. In der Diskussion (Kapitel 6) werden Hindernisse jedoch ggf. berücksichtigt.

5.2 Schutzwürdige Räume in der Umgebung der PVA

Ab einem Abstand zwischen Immissionsort (z. B. Wohngebäude) und einer nach (ca.) Süden ausgerichteten PVA von 100 m können erhebliche Belästigungen (i. d. R.) pauschal ausgeschlossen werden [1].

Abbildung 7 veranschaulicht den Bereich, der 100 Meter oder näher an der Photovoltaikanlage liegt.

Es lässt sich feststellen, dass im 100-Meter-Umkreis schutzwürdige Büroräume vorhanden sind.

Die Gebäude direkt nördlich der PVA sind als Lager- und Produktionshallen deklariert und sind somit nicht schutzwürdig.

Auf der freien Fläche im Südosten der Anlage ist die Errichtung eines weiteren Bürogebäudes in Planung. Dieses Gebäude wird in die Untersuchung mit aufgenommen.

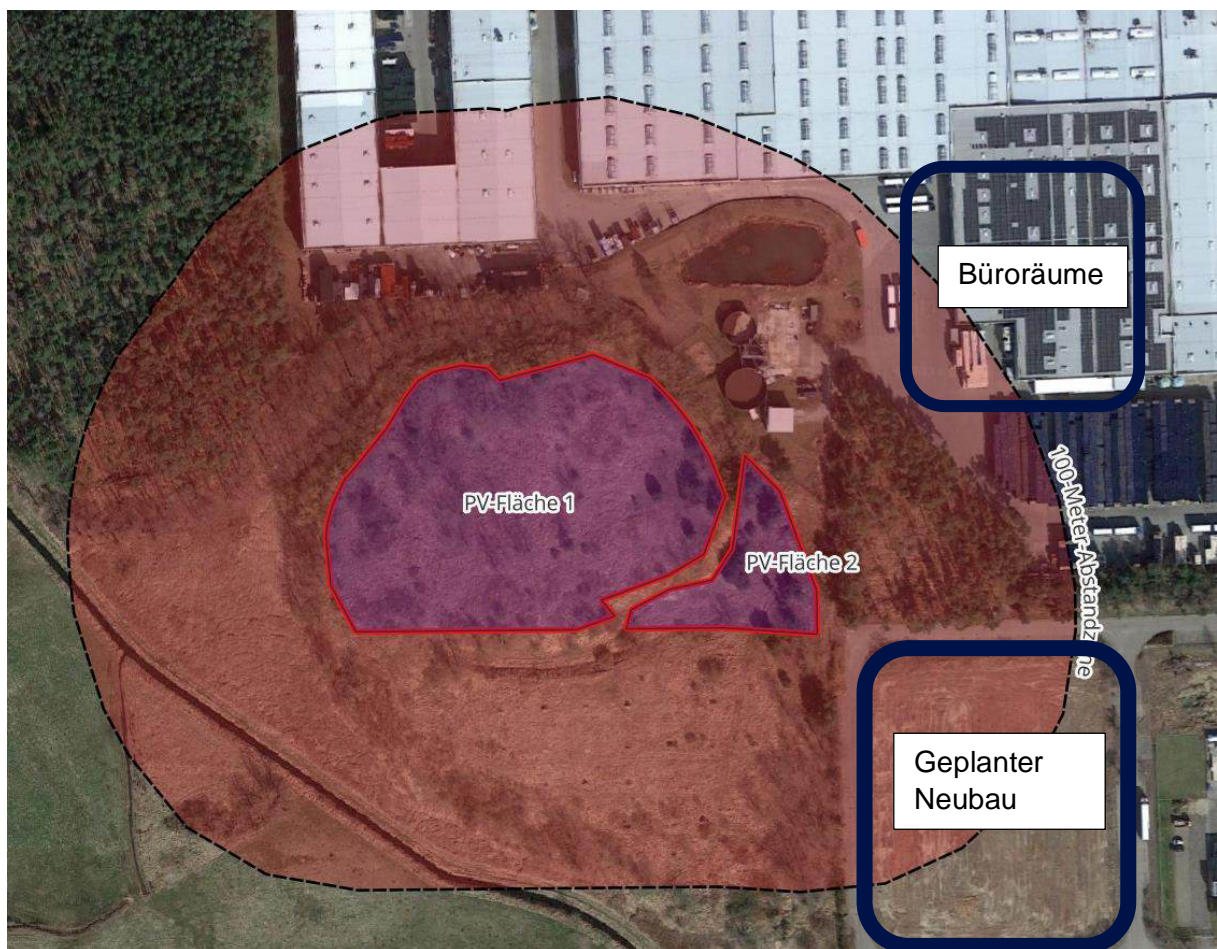


Abbildung 7: Übersicht der 100-Meter-Zone - Quelle Satellitenbild: Google Earth Pro

5.3 Observationspunkte

Zur Bewertung der Blendwirkungen in bzw. an den schutzwürdigen Räumen wurden im Rahmen der Simulation sogenannte „Observationspunkte“ (OP) festgelegt. Diese Punkte fungieren als Detektorpunkte für einfallende Reflexionen. Insgesamt wurden neunzehn OP an den schutzwürdigen Räumen definiert (OP H1 bis H19).

Die OP wurden, wo möglich, so positioniert, dass sie insgesamt das Worst-Case-Szenario repräsentieren, also an Orten, an denen die stärksten Blendwirkungen erwartet werden.

Die Höhen der OP sind wie folgt definiert (bezogen auf die umliegende Geländeoberkante):

- **Erdgeschoss (ca. 2 m Höhe, Augenhöhe einer stehenden Person):**
 - OP H1
 - OP H4
 - OP H7
 - OP H10
 - OP H13
 - OP H16
- **Erstes Obergeschoss (ca. 5 m Höhe, Augenhöhe einer stehenden Person):**
 - OP H2
 - OP H5
 - OP H8
 - OP H11
 - OP H14
 - OP H17
- **Zweites Obergeschoss (ca. 8 m Höhe, Augenhöhe einer stehenden Person):**
 - OP H3
 - OP H6
 - OP H9
 - OP H12
 - OP H15
 - OP H18
 - OP H19

Generell sind höher gelegene Immissionsorte stärkeren Blendwirkungen ausgesetzt als niedriger gelegene. Die Höhe des geplanten Bürogebäudes wurde vom Auftraggeber bereitgestellt.



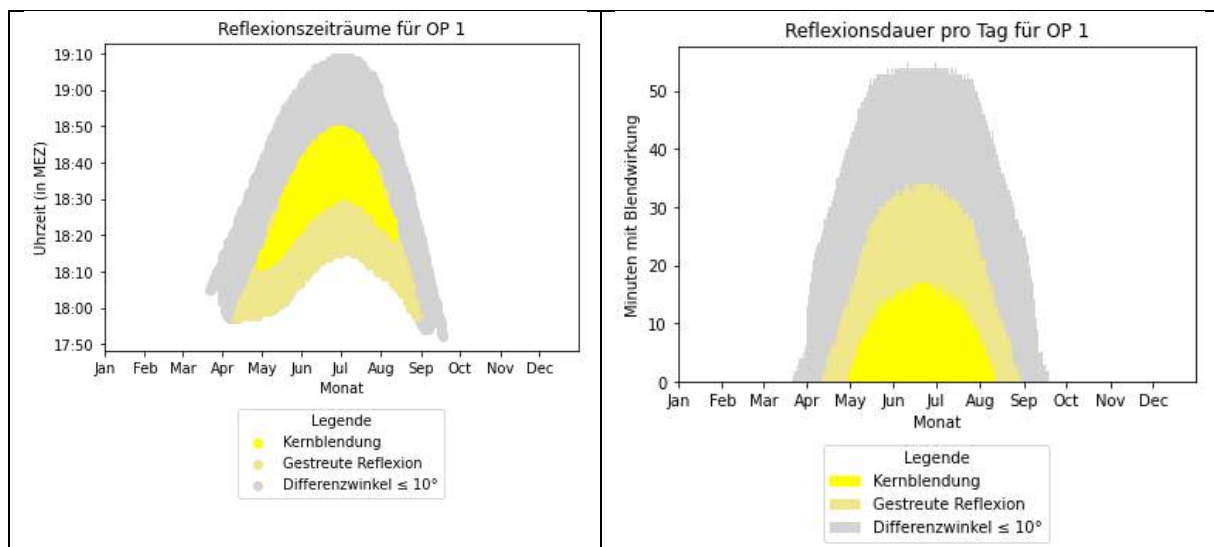
Abbildung 8: Positionen von OP H1 bis H19 - Quelle Satellitenbild: Google Earth Pro

5.4 Ergebnisse

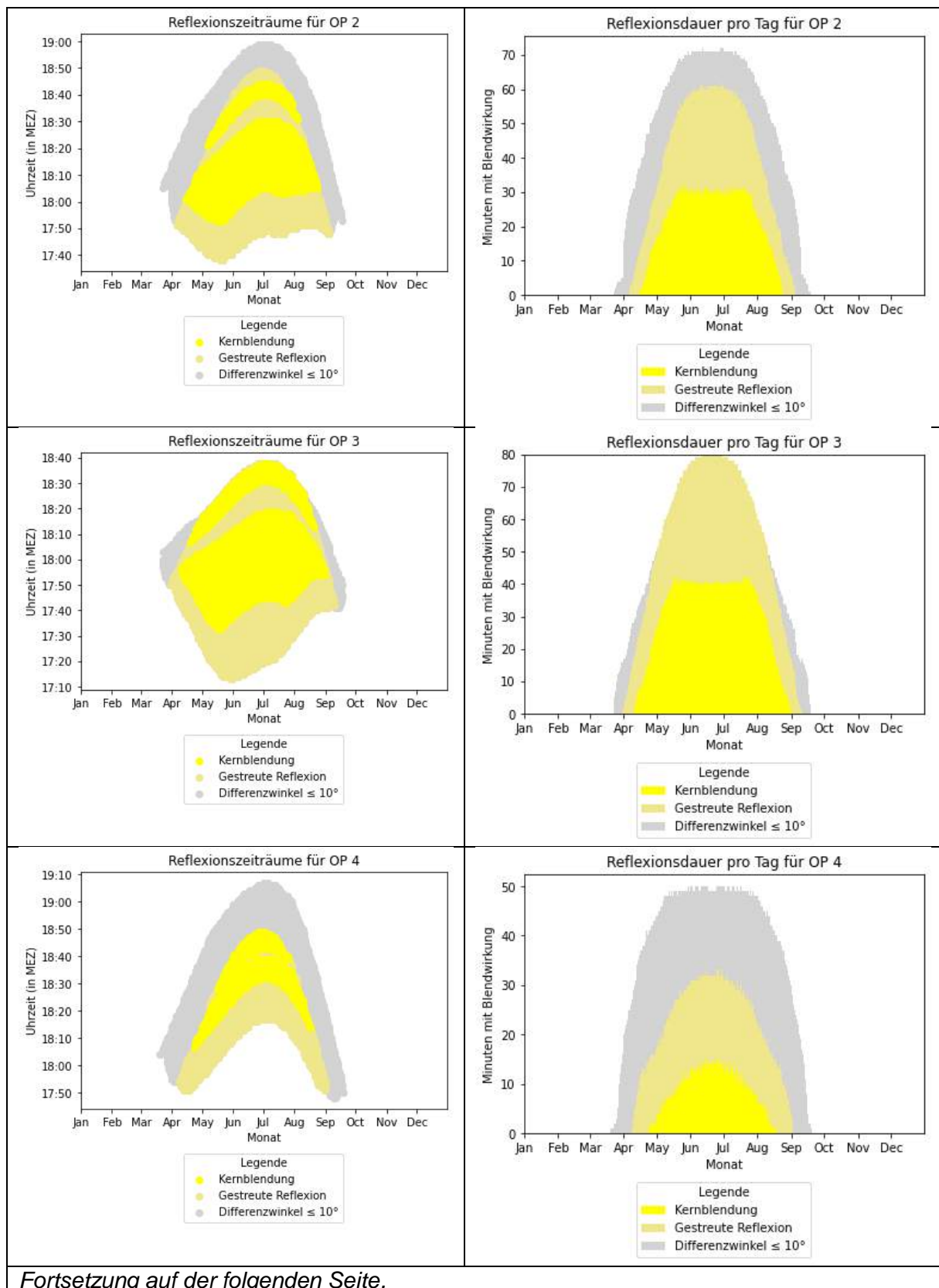
Observationspunkt	Max. Blenddauer (Kernblendung) pro Tag in Minuten	Gesamtblenddauer pro Jahr (Kernblendung) in Minuten	Werden die LAI- Grenzwerte eingehalten (vgl. Kapitel 5.1)?
H1	17	1243	Ja
H2	32	3075	Nein
H3	42	4475	Nein
H4	15	1074	Ja
H5	18	2130	Nein
H6	29	3606	Nein
H7	13	970	Ja
H8	12	1393	Ja
H9	19	2353	Nein
H10	10	499	Ja
H11	8	435	Ja
H12	10	719	Ja
H13	6	329	Ja
H14	2	161	Ja
H15	5	390	Ja
H16	4	194	Ja
H17	2	86	Ja
H18	4	162	Ja
H19	Keine Reflexionen	Keine Reflexionen	Ja

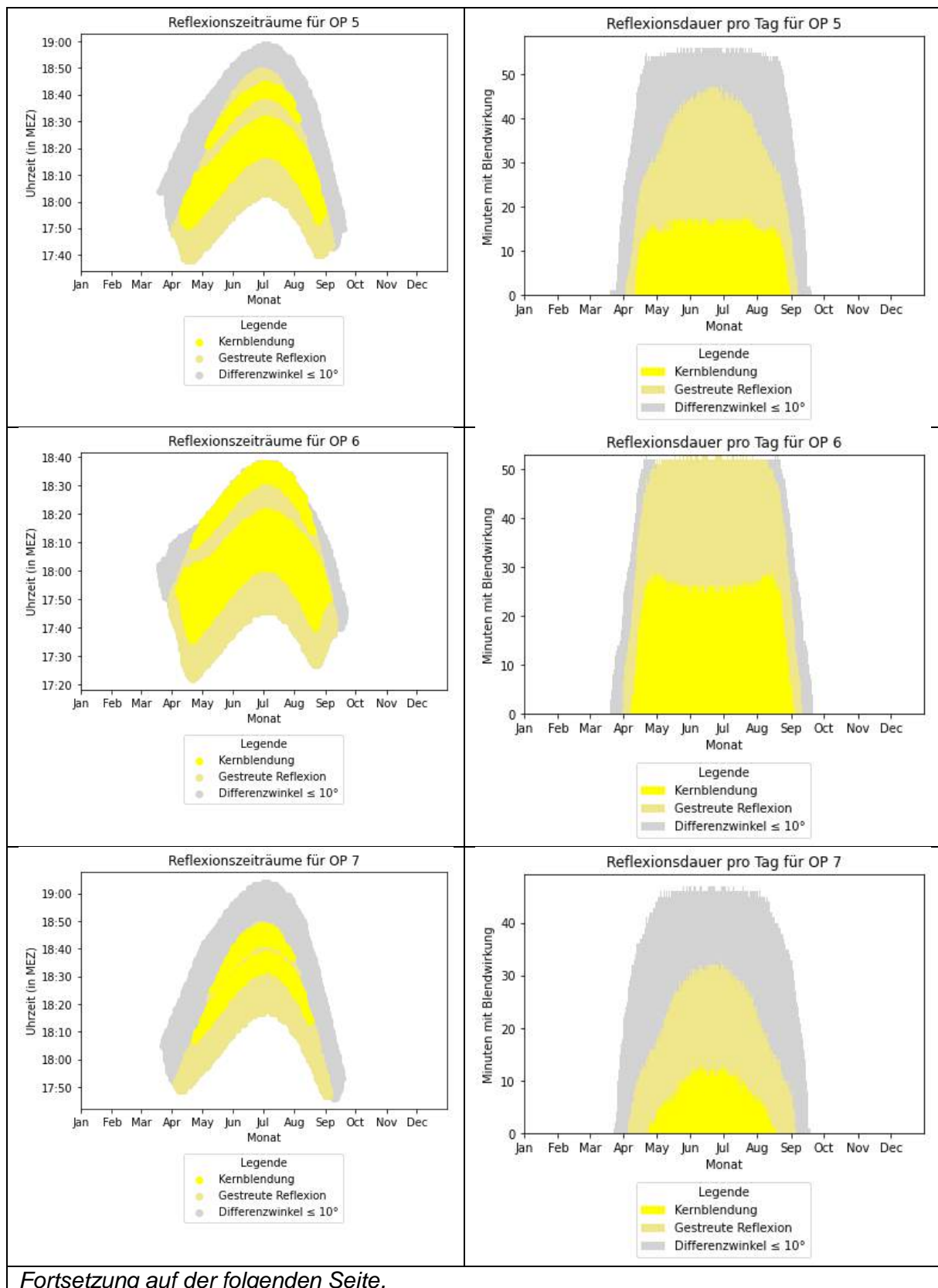
Hinweis: Die in den Diagrammen dargestellten Uhrzeiten beziehen sich auf die Winterzeit (MEZ, UTC+1).

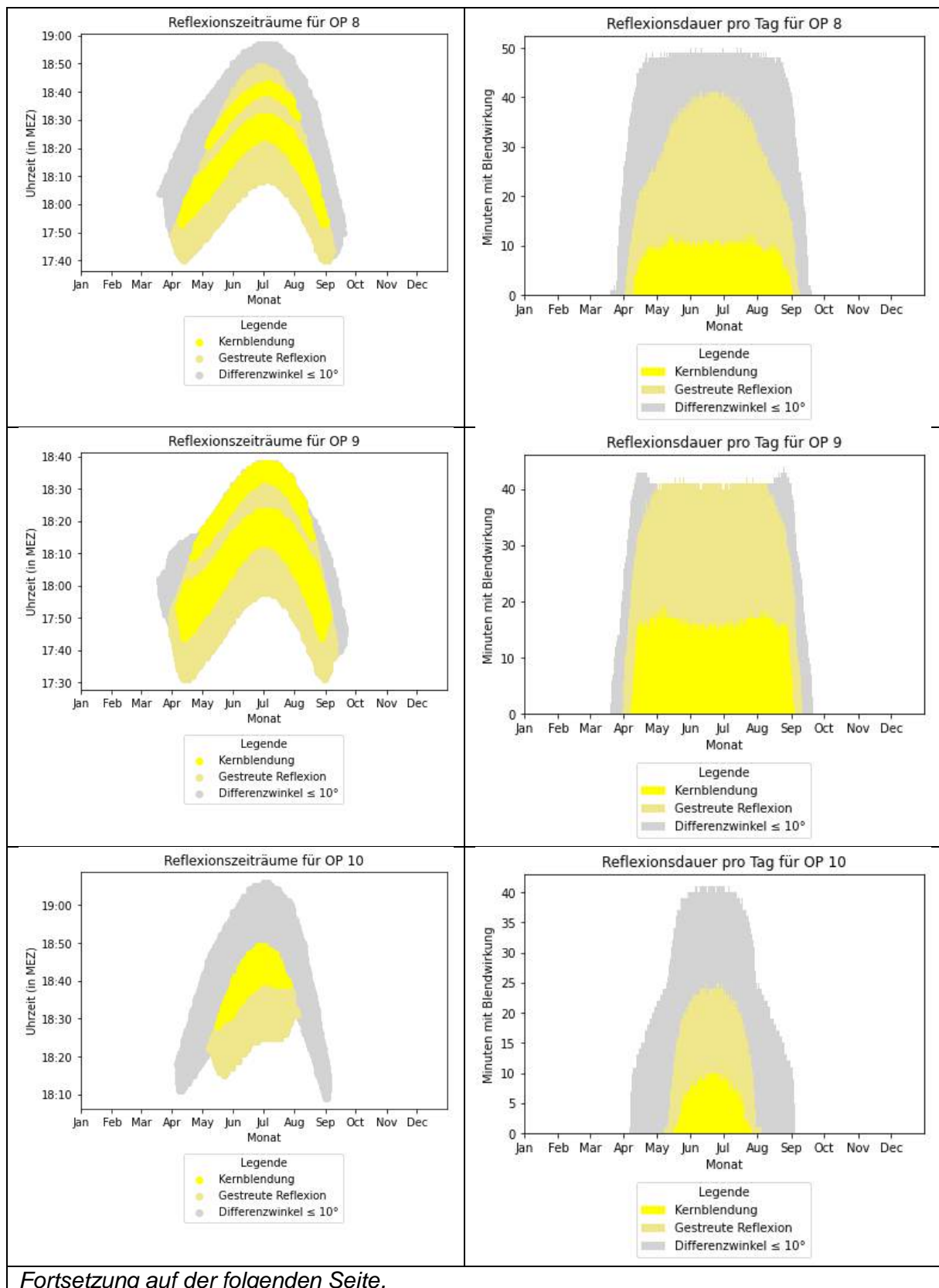
Ergebnisdiagramme 1: Blendwirkungen bei den OP Hx

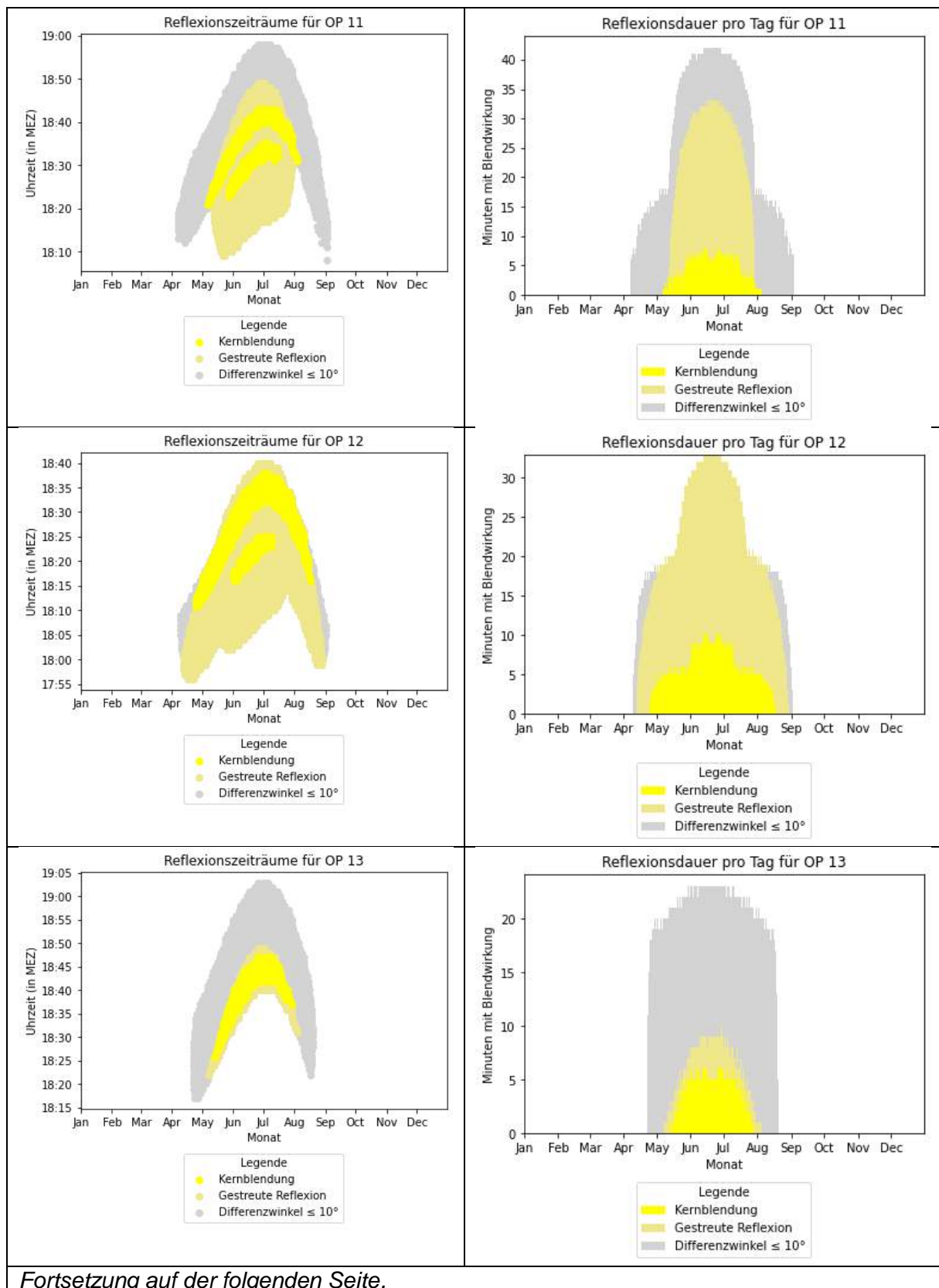


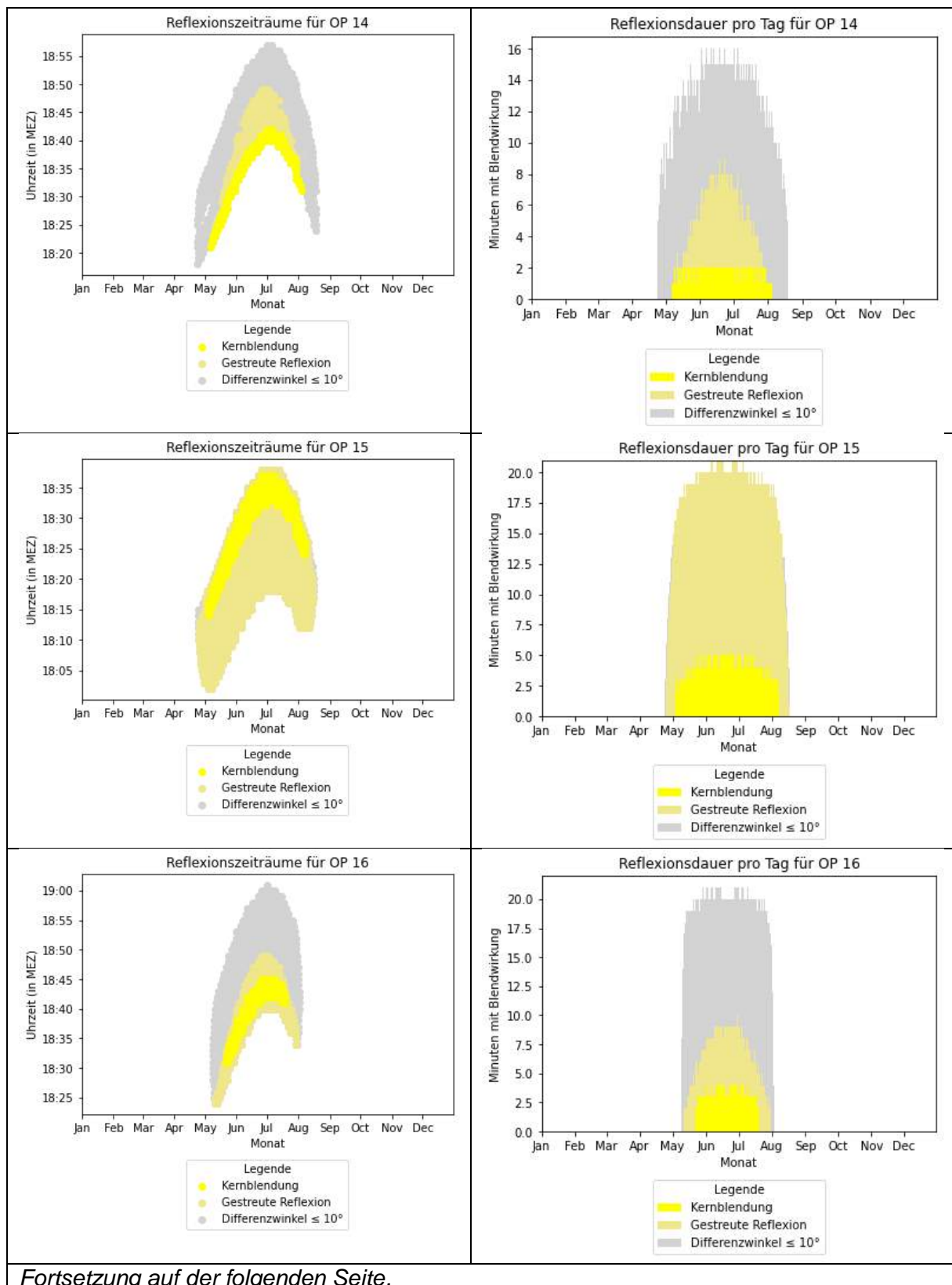
Fortsetzung auf der folgenden Seite.

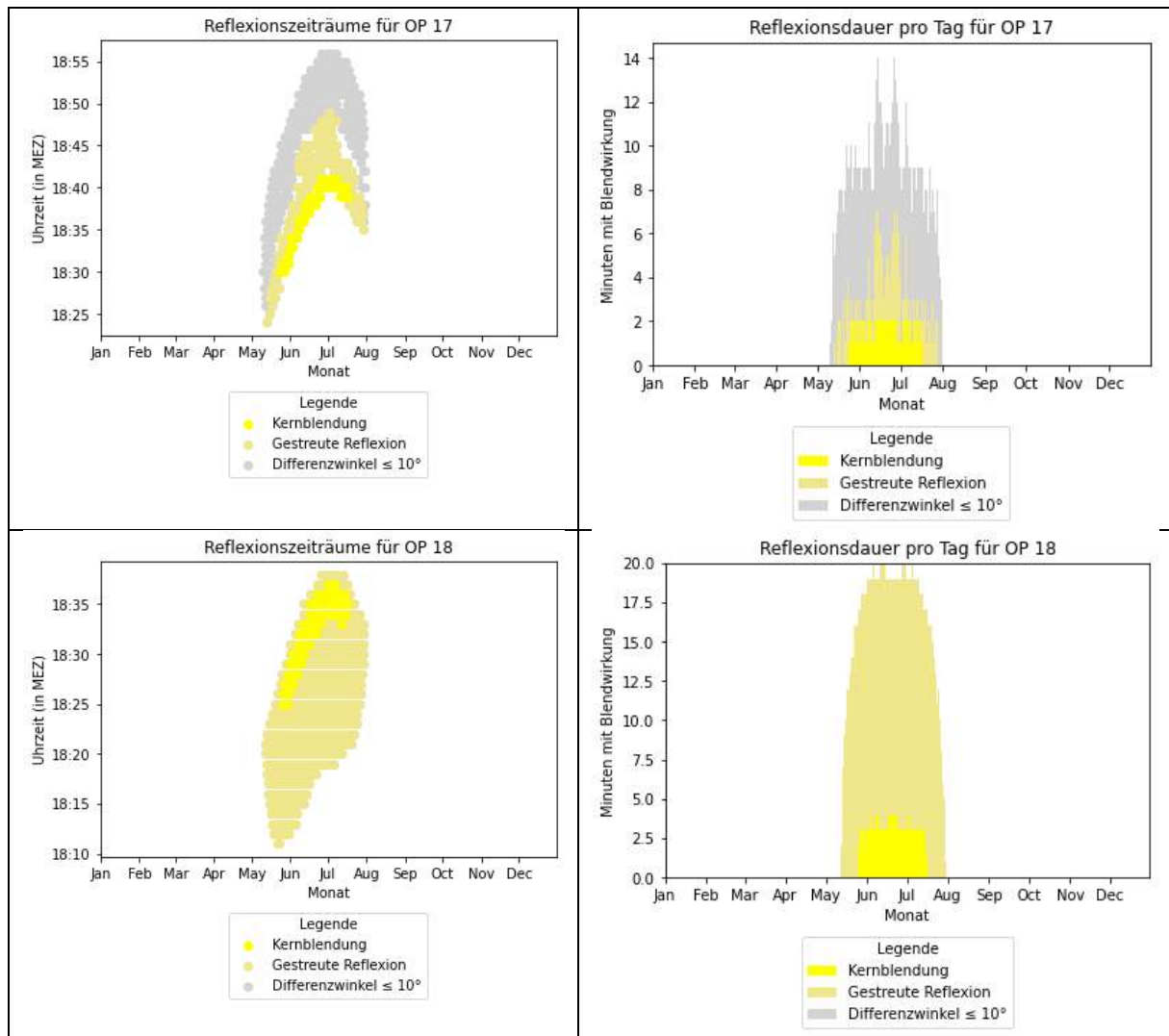












6 Diskussion der Ergebnisse

Im relevanten Umfeld (100 m Radius) der Photovoltaikanlage befinden sich mehrere (zumindest geplante) Bürogebäude. Die LAI-Grenzwerte werden an der Nordseite des geplanten Bürogebäudes im Südosten der PVA überschritten. In der Berechnung wurde die örtliche Vegetation nicht berücksichtigt. Tatsächlich schränken hochgewachsene Bäume teilweise die Sicht vom betroffenen Bürogebäude auf die für die Blendwirkungen relevanten Abschnitte der Photovoltaikanlage ein. Der Vegetationsabschnitt ist laut Bebauungsplan (Gewerbegebiet Nord) der Stadt Bad Liebenwerda als Wald deklariert und verläuft auch in Richtung Süden entlang der Gewerbestraße.

Als präventive Maßnahme kann z. B. empfohlen werden, entlang eines Abschnittes der östlichen und südlichen Anlagengrenze einen zusätzlichen Sichtschutz zu errichten. Hierbei könnte beispielsweise ein mehrreihiger Vegetationsstreifen, bestehend aus hoch- und dichtwachsenden Pflanzen, angelegt werden, um die Sicht auf die Anlage (und somit mögliche Blendwirkungen) zu minimieren. Die Wuchshöhe sollte so ausgelegt werden, dass der Sichtschutz auch von den oberen Etagen des geplanten Bürogebäudes die Sicht auf die dahinterliegenden Module (beider PV-Flächen) blockiert. Der Waldstreifen kann als Teil des Sichtschutzes dienen, falls dessen Erhalt garantiert werden kann (es wird empfohlen, soweit dies möglich ist, darauf hinzuwirken, dass der Wald erhalten bleibt). Ein zusätzlicher Sichtschutz ist dennoch ratsam.

Des Weiteren liegen die Reflexionszeiträume generell außerhalb der üblichen Arbeitszeiten (frühestens ab ca. 18:00 Uhr Sommerzeit), sodass entstehende Blendwirkungen den Arbeitsbetrieb nicht übermäßig beeinträchtigen sollten.

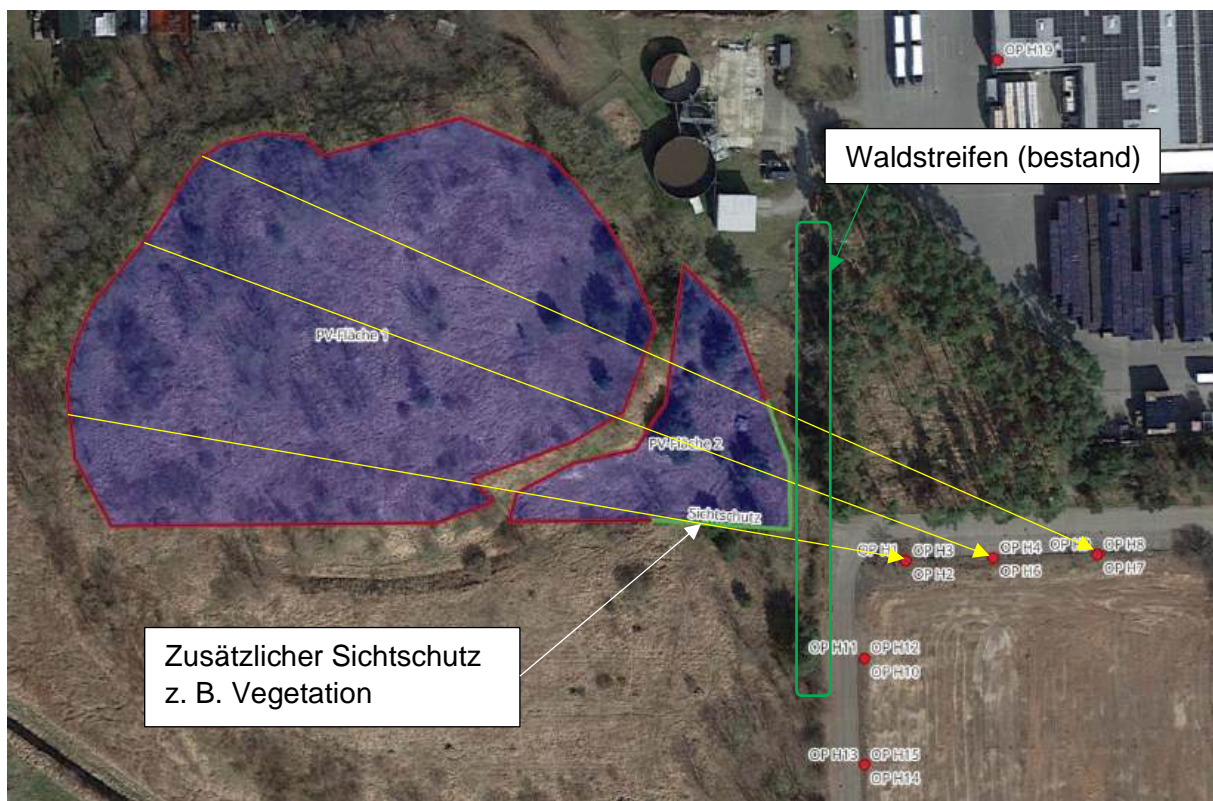


Abbildung 9: Skizze der wesentlichen Reflexionsrichtungen und Position des Sichtschutzes - Quelle Satellitenbild: Google Earth Pro

7 Literaturverzeichnis

- [1] Bund/Länder-Arbeitsgemeinschaft für Immissionsschutz (LAI), *Hinweise zur Messung, Beurteilung und Minderung von Lichtimmissionen (Leitfaden)*. 2012. [Online]. Verfügbar unter: https://www.lai-immissionsschutz.de/documents/lichthinweise-2015-11-03mit-formelkorrektur_aus_03_2018_1520588339.pdf
- [2] K. Mertens, *Photovoltaik: Lehrbuch zu Grundlagen, Technologie und Praxis*, 5. Aufl. Carl Hanser Verlag München, 2020.
- [3] Volker Quaschnig, *Regenerative Energiesysteme: Technologie - Berechnung - Simulation*, 9. Aufl. Carl Hanser Verlag München, 2015.
- [4] J. Yellowhair und C. K. Ho, „Assessment of Photovoltaic Surface Texturing on Transmittance Effects and Glint/Glare Impacts“, San Diego, California, USA: American Society of Mechanical Engineers, Juni 2015, S. V002T11A003. doi: 10.1115/ES2015-49481.
- [5] J. A. Duffie und W. A. Beckman, „Solar Engineering of Thermal Processes“, Bd. 4, 2013.

Anhang A: Annahmen und Limitationen von SGHAT



4. Assumptions and Limitations

Below is a list of assumptions and limitations of the models and methods used in SGHAT:

- The software currently only applies to flat reflective surfaces. For curved surfaces (e.g., focused mirrors such as parabolic troughs or dishes used in concentrating solar power systems), methods and models derived by Ho et al. (2011) [1] can be used and are currently being evaluated for implementation into future versions SGHAT.
- SGHAT does not rigorously represent the detailed geometry of a system; detailed features such as gaps between modules, variable height of the PV array, and support structures may impact actual glare results. However, we have validated our models against several systems, including a PV array causing glare to the air-traffic control tower at Manchester-Boston Regional Airport and several sites in Albuquerque, and the tool accurately predicted the occurrence and intensity of glare at different times and days of the year.
- SGHAT assumes that the PV array is aligned with a plane defined by the total heights of the coordinates outlined in the Google map. For more accuracy, the user should perform runs using minimum and maximum values for the vertex heights to bound the height of the plane containing the solar array. Doing so will expand the range of observed solar glare when compared to results using a single height value.
- SGHAT does not consider obstacles (either man-made or natural) between the observation points and the prescribed solar installation that may obstruct observed glare, such as trees, hills, buildings, etc.
- The variable direct normal irradiance (DNI) feature (if selected) scales the user-prescribed peak DNI using a typical clear-day irradiance profile. This profile has a lower DNI in the mornings and evenings and a maximum at solar noon. The scaling uses a clear-day irradiance profile based on a normalized time relative to sunrise, solar noon, and sunset, which are prescribed by a sun-position algorithm [2] and the latitude and longitude obtained from Google maps. The actual DNI on any given day can be affected by cloud cover, atmospheric attenuation, and other environmental factors.
- The ocular hazard predicted by the tool depends on a number of environmental, optical, and human factors, which can be uncertain. We provide input fields and typical ranges of values for these factors so that the user can vary these parameters to see if they have an impact on the results. The speed of SGHAT allows expedited sensitivity and parametric analyses.
- Single- and dual-axis tracking compute the panel normal vector based on the position of the sun once it is above the horizon. Dual-axis tracking does not place a limit on the angle of rotation, unless the sun is below the horizon. For single-axis tracking, a maximum angle of rotation can be applied to both the clockwise and counterclockwise directions.

Ausschnitt wurde dem SGHAT-Handbuch (Solar Glare Hazard Analysis Tool) entnommen. Das vollständige Handbuch kann unter folgendem Link gefunden werden:

https://forgesolar.com/static/docs/SGHAT3-GlareGauge_user_manual_v1.pdf